

6  
А 67

ИЧУ

МИНИСТЕРСТВО ВЫШЕГО И СРЕДНЕГО  
СПЕЦИАЛЬНОГО ОБРАЗОВАНИЯ КАЗАХСКОЙ ССР

КАРАГАНДИНСКИЙ ПОЛИТЕХНИЧЕСКИЙ ИНСТИТУТ

На правах рукописи

Аспирант Г.А. НЕСТЕРОВ

ИССЛЕДОВАНИЕ РЕОЛОГИЧЕСКИХ СВОЙСТВ  
ТОЛЩИ ПОРОД КАРАГАНДИНСКОГО БАССЕЙНА ДЛЯ ЦЕЛЕЙ  
РАСЧЕТА ГОРНОГО ДАВЛЕНИЯ

( диссертация написана на русском языке )

специальность 05.3II - "Подземная  
разработка и эксплуатация угольных, руд-  
ных и нерудных месторождений"

Авторефат  
диссертации на соискание ученой  
степени кандидата технических наук

г. Караганда  
- 1971 -

МИНИСТЕРСТВО ВЫСШЕГО И СРЕДНЕГО  
СПЕЦИАЛЬНОГО ОБРАЗОВАНИЯ КАЗАХСКОЙ ССР

КАРАГАНДИНСКИЙ ПОЛИТЕХНИЧЕСКИЙ ИНСТИТУТ.

На правах рукописи.

Аспирант Г.А. НЕСТЕРОВ.

ИССЛЕДОВАНИЕ РЕОЛОГИЧЕСКИХ СВОЙСТВ  
ТОЛЩИ ПОРОД КАРАГАНДИНСКОГО БАССЕЙНА ДЛЯ ЦЕЛЕЙ  
РАСЧЕТА ГОРНОГО ДАВЛЕНИЯ.

(диссертация написана на русском языке)

специальность 05.311 - "Подземная разработка  
и эксплуатация угольных, рудных и нерудных  
месторождений"

Автореферат

диссертации на соискание ученой  
степени кандидата технических наук.

г. Караганда

-1971-

Центральная научно-техническая библиотека

Работа выполнена в институте математики и механики АН Каз.ССР и в Казахском филиале Всесоюзного научно-исследовательского института горной геомеханики и маркшейдерского дела (ВНИМИ).

Научные руководители: академик АН Каз.ССР, ветеран науки, профессор, доктор технических наук  
И.С.Ержанов.

Доцент, кандидат технических наук  
Ю.А.Векслер.

Официальные оппоненты: профессор, доктор технических наук  
И.Л.Черняк.

Доцент, кандидат технических наук И.И. Попов

Ведущее предприятие - Комбинат Карагандауголь.

Автореферат разослан "16" октября 1971 г.

Защита диссертации состоится "25" ноября 1971 г.  
на заседании Ученого Совета Карагандинского политехнического института.

С диссертацией можно ознакомиться в библиотеке института.

Отзыв просим направлять в двух экземплярах по адресу: Караганда, 470041, Бульвар Мира, 56.

Ученый секретарь Совета,  
кандидат технических наук

Н.Ф.ГРАЩЕНКОВ.

## ВВЕДЕНИЕ

Повышение интенсивности и экономической эффективности разработки угольных месторождений выдвигает в число актуальных вопросов научно-технического прогресса ряд задач горного дела, относящихся к расчету устойчивости горных выработок различного назначения, управлению горным давлением в связи с переходом добывающих работ на большие глубины, определению параметров систем разработки в условиях механизации и автоматизации основных технологических процессов.

Решение подобных вопросов должно базироваться на знании и использовании закономерностей движения массива горных пород, во многом обусловленном проявлением ползучести, представляющим собой релаксационное явление.

Разработанная И.С. Ержановым теория ползучести горных пород открыла широкие перспективы теоретического обоснования инженерных методов оценки влияния времени на прочность и устойчивость горных выработок и других подземных сооружений, а также на процесс сдвижения подработанной толщи.

Как известно, параметры ползучести, фигурирующие в физических уравнениях связи этой теории, находятся из опыта. Отсюда очевидна необходимость экспериментального исследования закономерностей временного деформирования горных пород как в лабораторных условиях - на породных образцах, доставляемых из горных выработок, так и в натурных условиях - путем непосредственного измерения смещений горных пород в выработках или на земной поверхности, подработанной очистными работами.

Надежность полученных результатов будет гарантирована, если эти параметры получать одновременно в лабораторных и натурных (шахтных) условиях, тогда численные их значения могут быть уверенно использованы при решении конкретных задач проблемы горного давления.

Заявка  
диссертации

Настоящая работа посвящена натурному исследованию реологических свойств толщи горных пород Карагандинского бассейна, проявляемых в смещении горных пород вокруг подземных выработок и земной поверхности над очистными работами. Полученные параметры использованы для решения задачи о расчете сдвигений пород в окрестности очистной выработки.

В реферируемой работе решены следующие задачи:

1. Исследованы релаксационные процессы в массиве вокруг горизонтальных выработок вне зоны влияния очистных работ с учетом разрушения горных пород;
2. Исследованы релаксационные процессы с учетом разрушения в толще горных пород над очистной выработкой по данным наблюдений за оседанием земной поверхности;
3. Применение полученных результатов для расчетов методом натурных параметров:
  - а) смещений и напряжений в окрестности очистной выработки;
  - б) сдвигений горных пород и земной поверхности при выемке пластов угля с закладкой выработанного пространства.

Диссертационная работа состоит из введения, четырех глав и приложения. Последнее представлено таблицами, содержащими опытные данные натурных и лабораторных исследований.

#### Глава I. ОБЪЕКТ И ЗАДАЧИ ИССЛЕДОВАНИЯ.

Объектом исследования был выбран Промышленный участок Карагандинского бассейна, угленосная толща которого представлена аргиллитами (22%), алевролитами (8%), песчаниками (65%) и каменными углями (7%).

Разработка угольных пластов в Карагандинском бассейне связана с определенными трудностями перехода добывочных работ на глубокие горизонты и выемкой угля под застроенными

территориями, когда горное давление и сдвижение горных пород приводят к деформированию подземных и поверхностных сооружений, к потере их устойчивости и разрушению. Очень важным становится вопрос изучения деформаций горных выработок и земной поверхности под влиянием подземных разработок, развития их во времени и влияния на статическую работу сооружений.

Сводные результаты изучения деформаций массивов пород и их взаимодействие с горными выработками свидетельствуют о несомненной реологической природе проявлений неустановившегося горного давления.

Ползучесть осадочных горных пород, согласно упомянутой теории, описывается ядром наследственности

$$L(t, \tau) = \delta(t-\tau)^{-\alpha} \quad (1)$$

интегрального уравнения

$$\varepsilon(t) = \frac{C}{E} \left[ 1 + \int_0^t L(t, \tau) dt \right], \quad (2)$$

где  $\alpha$ ,  $\delta$  - параметры ползучести,  $C$  - константа; параметр  $\delta$  имеет размерность "время в степени  $\alpha-1$ ";  $E$  - модуль упругости

Эти параметры характеризуют релаксационные процессы и определяются путем изучения закономерностей поведения породных образцов под нагрузкой в разных режимах нагружения. Однако, численные их значения, устанавливаемые в лабораторных условиях, не отражают в достаточной мере условий естественного залегания горных пород. Поэтому необходимые для расчетов натурные их значения устанавливают по результатам непосредственного измерения смещений точек горного массива. При этом, решая соответствующую задачу теории ползучести горных пород и вводя в получаемый результат данные такого измерения, находят искомые значения параметров ползучести массива.

Этот метод определения натурных параметров ползучести горных пород в комплексе с лабораторными испытаниями впервые изложен Ж.С. Ержановым. В дальнейшем он использован И.Л. Черняком, В.П. Матвеевой, Ю.З. Заславским и А.Н. Зориным, К.П. Шкуриной, Г.И. Гуменюком и другими авторами.

Толкование результатов натурных наблюдений и расчеты неустановившегося горного давления, изложенные в диссертационной работе, основаны на теории ползучести горных пород с привлечением метода натурных параметров ползучести.

## Глава II. РЕЛАКСАЦИОННЫЕ ЯВЛЕНИЯ В МАССИВЕ ГОРНЫХ ПОРОД.

Для изучения процесса деформирования горных пород были заложены наблюдательные станции в горных выработках некоторых шахт Карагандинского бассейна. Они представлены серией реперов конструкции ВНИИ, располагающимися по контуру выработки в специально пробуренных шпурах на глубину до 6 м. Наблюдательные станции устанавливались на расстоянии 5-14 м от движущегося забоя штрека. После установки были организованы систематические наблюдения за перемещением реперов во времени.

Характерные графики сдвижения пород в окрестности горизонтальной горной выработки приведены на рис. I (а - в кровле и б - в боках штрека).

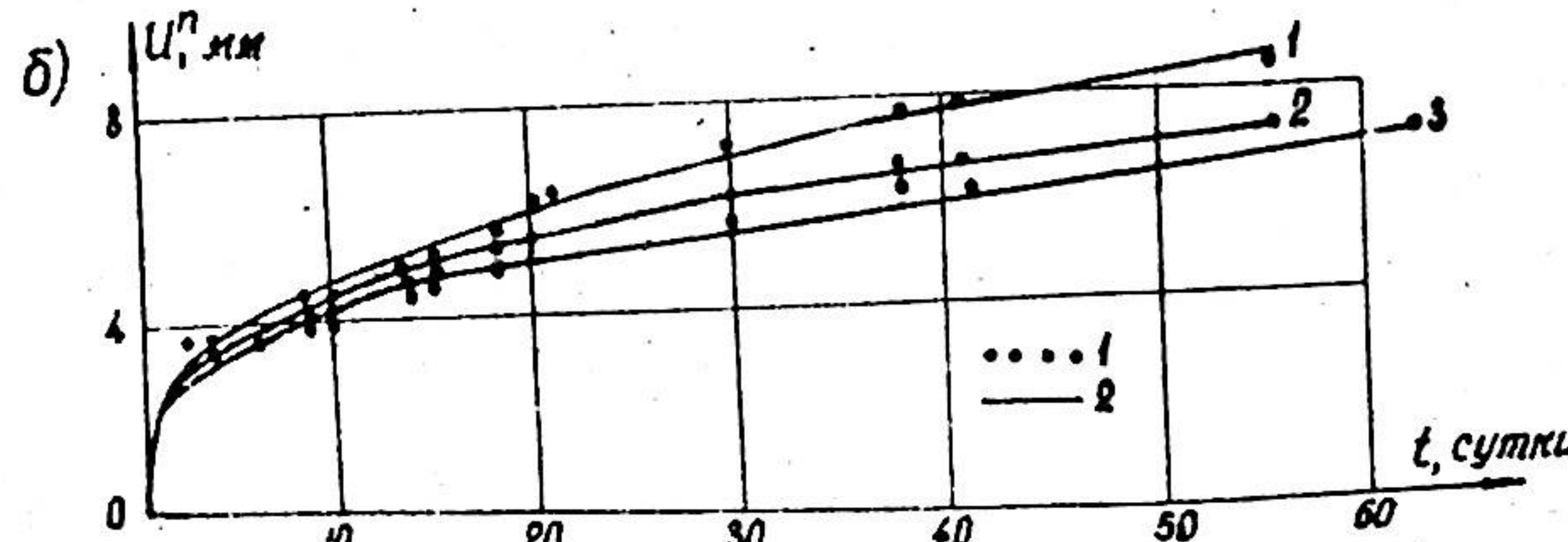
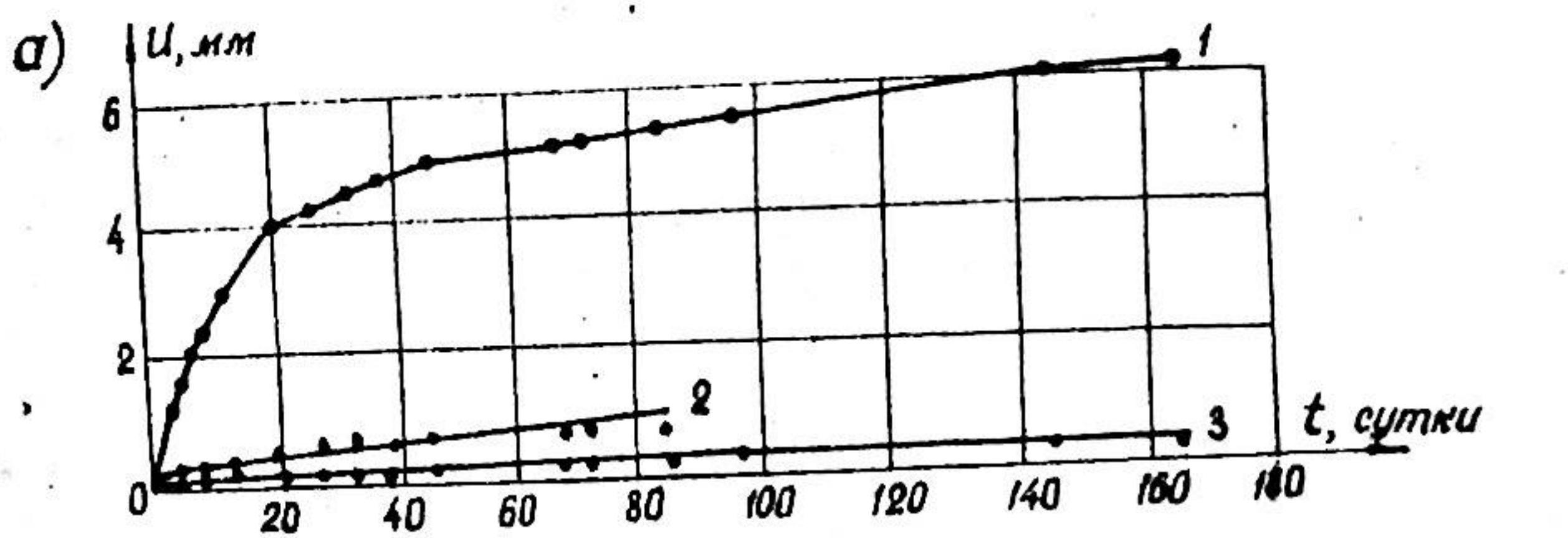


Рис. I (1 - опытные данные, 2 - аппроксимация).

Установлено, что максимальные смещения пород происходят, в основном, в первые 30-40 суток после обнажения, а затем наступает период их стабилизации. Наибольшие смещения наблюдаются у контура выработки (рис. I), по мере удаления в глубь массива они затухают. Вокруг выработки образуется зона с растягивающими деформациями, величина которой составляет 4-6 м.

Деформации, наиболее сильно проявляющиеся у контура выработки, могут привести со временем к разрушению массива. Размер зоны разрушения в кровле выработки составляет 2 - 2.5 м. Выше этой зоны вероятность разрушения уменьшается и смещения обусловлены лишь ползучестью. Радиальные смещения пород в таком случае могут быть определены известным выражением

$$U^n = \frac{\gamma H R^2}{2 E \gamma} \left\{ \frac{3}{2} \left[ 2 + (1-\lambda) \left( 1 - \frac{R^2}{r^2} \right) \right] \frac{\delta t^{1-\alpha}}{1-\alpha} + (1-2\gamma)^2 (1-\lambda) [1 - \exp \{- (1-\alpha)^{1-\alpha} \Gamma(1-\alpha) t^{1-\alpha}\}] \right\}, \quad (3)$$

где:  $R$  - радиус выработки;  $r$  - расстояние от центра выработки до рассматриваемой точки массива;  $H$  - глубина заложения выработки;  $\gamma$  - объемный вес массива;  $\gamma$  - коэффициент Пуассона;  $\lambda$  - коэффициент бокового давления;  $t$  - продолжительность смещений.

В предположении распределения напряжений, близким к гидростатическому, когда  $\lambda = 1$ , выражение (3) примет вид

$$U^n = \frac{3 \gamma H R^2}{2 E \gamma} \frac{\delta}{1-\alpha} t^{1-\alpha} \quad (4)$$

Из выражения (4) определены натурные значения параметров ползучести ядра (I) (таблица I).

Таблица 1

| № шахты   | Породы   | модуль упругости, Е, кг/см <sup>2</sup> | Коэф. Пуасона, % | Расст. от центра выраб. | Параметры ползучести |                                 |
|-----------|----------|---|------------------|-------------------------|----------------------|---------------------------------|
|           |          |   |                  |                         | $\alpha$             | $\delta, \text{сек}^{\alpha-1}$ |
| 3I        | Песчаник | $1.77 \times 10^5$                      | 0.16             | 3.95                    | 0.735                | 0.0052                          |
|           |          |   |                  | 5.95                    | 0.694                | 0.0034                          |
|           |          | $1.5 \times 10^5$                       |                  | 4.7                     | 0.714                | 0.0043                          |
|           |          |   |                  | 6.2                     | 0.660                | 0.0022                          |
| 4         | Песчаник | $1.5 \times 10^5$                       | 0.2              | 2.0                     | 0.800                | 0.0094                          |
|           |          |   |                  | 3.2                     | 0.720                | 0.0053                          |
|           |          | $1.07 \times 10^5$                      |                  | 4.7                     | 0.705                | 0.0053                          |
|           |          |   |                  | 5.5                     | 0.720                | 0.0055                          |
| IOI       | Песчаник | $1.27 \times 10^5$                      | 0.1%             | 4                       | 0.600                | 0.004                           |
|           |          |   |                  | 5.5                     | 0.700                | 0.0059                          |
| Алевролит |          |   |                  | 5.5                     | 0.700                | 0.0059                          |

Для сравнения натурных параметров с лабораторными проведены испытания породных образцов на ползучесть при поперечном изгибе.

Всего было испытано 22 образца при нагрузках 20-70% от среднеразрушающих. Эти опыты показали, что процессы ползучести подчиняются линейному закону деформирования и достаточно полно описываются уравнением вида (2) со степенным ядром (I).

Найденные значения лабораторных параметров ползучести сведены в таблицу 2.

Таблица 2

| шифр образца             | по образцам |                                 | параметры ползучести |                                 |
|--------------------------|-------------|---------------------------------|----------------------|---------------------------------|
|                          | $\alpha$    | $\delta, \text{сек}^{\alpha-1}$ | среднее по породе    | $\delta, \text{сек}^{\alpha-1}$ |
| I                        | 2           | 3                               | 4                    | 5                               |
| IOI-A-2                  | 0.8II       | 0.0055                          | 0.788                | 0.0039                          |
| IOI-A-4                  | 0.726       | 0.0023                          | 0.768                | 0.0039                          |
| Алевролит                |             |                                 |                      |                                 |
| Мелкозернистый песчаник  |             |                                 |                      |                                 |
| IOI-4-2Б                 | 0.698       | 0.0058                          |                      |                                 |
| IOI-5-2Б                 | 0.866       | 0.0014                          |                      |                                 |
| IOI-2-1Б                 | 0.864       | 0.0069                          |                      |                                 |
| IOI-2-2Б                 | 0.759       | 0.0046                          |                      |                                 |
| IOI-3-2Б                 | 0.785       | 0.0051                          | 0.789                | 0.0049                          |
| IOI-4-3А                 | 0.795       | 0.0056                          |                      |                                 |
| Мелкозернистый песчаник  |             |                                 |                      |                                 |
| 8-3-1Б                   | 0.660       | 0.0072                          |                      |                                 |
| 8-2-2а                   | 0.670       | 0.0013                          |                      |                                 |
| 8-1-1Б                   | 0.730       | 0.0031                          | 0.728                | 0.0042                          |
| 8-3-3а                   | 0.793       | 0.0053                          |                      |                                 |
| 8-2-3а                   | 0.786       | 0.0039                          |                      |                                 |
| Среднезернистый песчаник |             |                                 |                      |                                 |
| 4-I-1                    | 0.705       | 0.0103                          |                      |                                 |
| 4-3-1                    | 0.701       | 0.0085                          |                      |                                 |
| 4-8-2                    | 0.750       | 0.0051                          | 0.739                | 0.0083                          |
| 4-4-1                    | 0.756       | 0.0117                          |                      |                                 |
| 4-7-1                    | 0.787       | 0.0091                          |                      |                                 |
| 4-5-1                    | 0.736       | 0.0052                          |                      |                                 |
| Среднезернистый песчаник |             |                                 |                      |                                 |
| 3I-2-1                   | 0.708       | 0.0041                          |                      |                                 |
| 3I-3-2                   | 0.722       | 0.0029                          | 0.737                | 0.0037                          |
| 3I-4-2                   | 0.780       | 0.0045                          |                      |                                 |

Результаты испытаний показали, что натурные и лабораторные значения параметров ползучести близки и могут быть использованы для оценки влияния времени на напряженно-деформированное состояние горных выработок.

Для определения смещений точек контура выработки, обусловленных не только ползучестью, но и разрушением (разрыхлением) массива, вводится коэффициент, определяемый из выражения

$$K_t = \frac{u^c - u^n}{u^n}, \quad (5)$$

где  $u^c$  – фактическое смещение;  $u^n$  – смещения вследствие ползучести.

Анализ данных натурных наблюдений позволил установить, что значения этого коэффициента не постоянны и изменяются во времени. Зависимость  $K_t$  от времени наблюдений имеет вид:

$$K_t = at^{-\beta} \quad (6)$$

Величины  $a$  и  $\beta$  оказались зависящими от параметров ползучести

$$a = \mu \delta^{-1}, \quad \beta = \alpha - 1, \quad (7)$$

где  $\mu$  – некоторый коэффициент, постоянный для данных условий.

Суммарное смещение точек контура выработки определяется выражением

$$u = u^n(1 + K_t) \quad (8)$$

где смещения из-за ползучести  $u^n$  определены выражениями (3) и (4).

Показана возможность расчета податливости крепи горизонтальной выработки для конкретных горнотехнических условий.

### Глава Ш. РЕЛАКСАЦИОННЫЕ ЯВЛЕНИЯ В ТОЛЩЕ ГОРНЫХ ПОРОД

Механические процессы, происходящие в толще горных пород при ее подработке, обусловлены проявлением ее ползучести и разрушения.

Результаты наблюдений за сдвижением земной поверхности на шахтах Карагандинского бассейна позволили установить основные факторы, влияющие на процесс сдвижения горных пород и земной поверхности.

К ним относятся: геометрические параметры заложения очистной выработки; физико-механические свойства горных пород; технология добычи и др.

Сдвижение подработанной толщи характеризуется формированием в массиве трех зон с различной степенью деформирования и нарушенности. Это – зона разрушения, зона трещин и зона плавного прогиба, где строение и сплошность пород сохраняются.

Для описания поведения пород в зоне плавного прогиба, где породы сохраняют свои свойства, применимы методы механики сплошной среды. Зависимость смещений точек земной поверхности от реологических свойств надугольной толщи впервые показана Ж.С. Ержановым и им определены натурные значения параметров ползучести толщи для условий Донецкого бассейна.

Анализ характера процесса сдвижения горных пород и земной поверхности по данным инструментальных наблюдений в Карагандинском бассейне показал, что сдвижение точек земной поверхности в краевых частях мульды сдвижения подчиняется аналогичной зависимости (при  $\alpha = 0.7$ ):

$$10\delta t^{0.3} - (1 - 2y)^2 \exp(-2.1\delta t^{0.3}) - \frac{4E\rho}{Gt} [1 + (\frac{a}{\rho} + c\delta k)^2]^{1/2} - 4y + 5 = 0, \quad (9)$$

где  $a$  – длина лавы, м;  $k$  – угол сдвижения;  $\rho$  – величина оседания земной поверхности в точке пересечения лучей углов сдвижения с линией поверхности, м;  $t$  – продолжительность процесса сдвижения, сек.

Результаты определений натурных значений параметра  $\delta$  по формуле (9) помещены в таблице 3. Для сравнения в этой же таблице приведены лабораторные его значения для пород Карагандинского бассейна по данным Г.Н. Гуменюка.

Эти данные указывают на достаточную близость натурных и лабораторных значений параметра ползучести  $\delta$ . Однако, выражение (9) удовлетворяет условиям на границе мульды сдвижения - в зоне неопасных сдвигений. Для точек, расположенных ближе к центру мульды сдвижения, смещения, рассчитанные по формуле (9), имеют меньшее значение, чем наблюденные. Это происходит из-за неучета вынимаемой мощности пласта и разрушения пород в его кровле.

Величина разрушения также может быть оценена некоторым коэффициентом, определяемым из эксперимента:

$$K_2 = \frac{p_c - p_n}{p_n}, \quad (10)$$

где  $p_c$  - фактическое смещение;  $p_n$  - смещение вследствие ползучести, определяемое по формуле (9)

Анализ данных инструментальных наблюдений за сдвижение земной поверхности показывает, что значения коэффициента  $K_2$  изменяются по профилю мульды сдвижения и его величина для точек мульды сдвижения может быть определена из выражения

$$K_2(x) = \left[ \left( 1 - \frac{x}{L} \right) \exp \left( \frac{x}{L} \right) \right]^4, \quad (II)$$

где  $x$  - расстояние от центра мульды сдвижения до точки;  $L$  - длина полумульды

Таблица 3

| №<br>захвата,<br>тест      | стан-<br>ции | Средняя дли-<br>на глу-<br>бины разра-<br>ботки, м | соотноше-<br>ние сланца в<br>и сечени-<br>ях | Углы<br>$\beta_{\text{спад}}$<br>$\gamma_{\text{спад}}$ | $\delta$ | Величина оседания со стороны $\beta$ , см | Параметры ползучести, $\delta$ сек. -0.3 | Параллельные |        |
|----------------------------|--------------|--|--|---|----------|---|--|--------------|--------|
|                            |              |  |  |   |          |   |  | I            | II     |
| № 1-Вертикальная, Октябрь- | уголь        | 71   | 230  | 0.50  | -        | 69  | 0.0034                                   | 0.0046       | 0.0050 |
| № 2, Октябрьуголь          | 78           | 230  | 2.20   | -   | 33       | -   | 0.0055                                   | 0.0048       | 0.0049 |
| № 2, Кировуголь            | 76           | 141  | 1.10   | -   | 21       | -   | 0.0038                                   | 0.0049       | 0.0047 |
| № 1-Вертикальная, Октябрь- | уголь        | 92   | 320  | 2.00  | -        | 90  | 0.0054                                   | 0.0050       | 0.0048 |
| № 1-Вертикальная, Октябрь- | уголь        | 80   | 280  | 2.20  | -        | 64  | 0.0043                                   | 0.0047       | 0.0046 |
| № 38, Ленинуголь           | 81           | 296  | 1.00   | -   | 46       | 337                                       | 10                                       | 30           | 40     |
| № 3-бис, Кировуголь        | 75           | 150  | 1.50   | -   | -        | -   | 0.0047                                   | 0.0048       | 0.0045 |
| № 18, Октябрьуголь         | 72           | 126  | 1.00   | -   | -        | -   | 0.0046                                   | 0.0048       | 0.0048 |
| № 18, Октябрьуголь         | 70           | 142  | 1.00   | -   | -        | -   | 0.0048                                   | 0.0048       | 0.0048 |
| № 3, Кировуголь            | 82           | 204  | 1.00   | -   | -        | -   | 0.0045                                   | 0.0048       | 0.0048 |
| № 3, Кировуголь            | 76           | 145  | 1.00   | -   | -        | -   | 0.0046                                   | 0.0048       | 0.0048 |
| № 38, Кировуголь           | 77           | 234  | 1.00   | -   | -        | -   | 0.0047                                   | 0.0048       | 0.0048 |
| № 12, Кировуголь           | 81           | 204  | 1.00   | -   | -        | -   | 0.0048                                   | 0.0048       | 0.0048 |
| № 38, Ленинуголь           | 77           | 145  | 1.00   | -   | -        | -   | 0.0048                                   | 0.0048       | 0.0048 |

Результаты натурных исследований процесса сдвижения позволили определить зависимость коэффициента  $K_2$  от размера очистной выработки ( $a$ ), глубины работ ( $H$ ) и вынимаемой мощности пласта ( $h$ ) в виде:

$$K_2 = \frac{672H}{a} \left(\frac{h}{a}\right)^{1.223} \quad (12)$$

Полное оседание земной поверхности, обусловленное ползучестью и разрушением толщи, может быть найдено из выражения:

$$\gamma_c = \gamma_n(1+K_2), \quad (13)$$

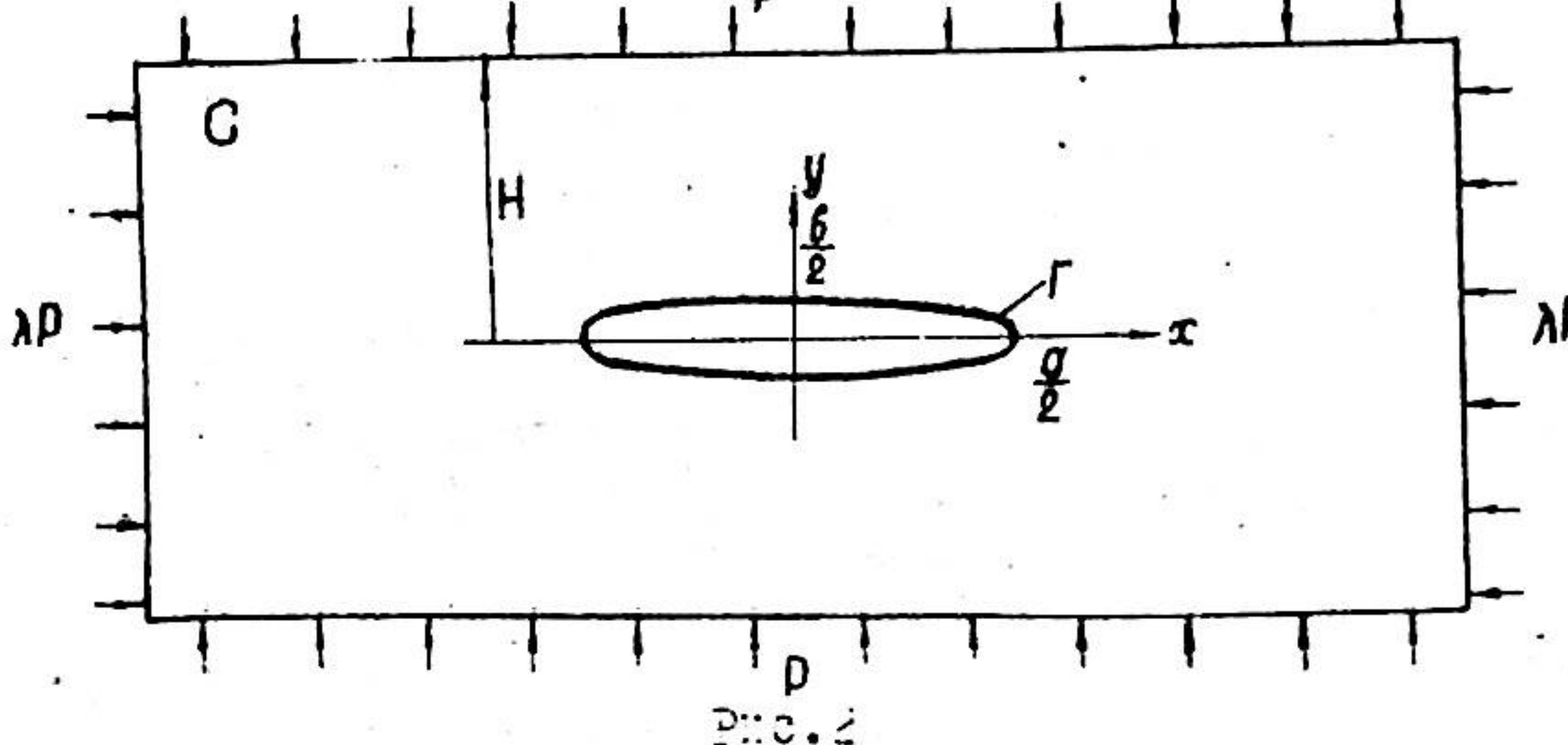
где  $\gamma_n$  - определено по формуле (9)

#### Глава IV. РАСЧЕТ СДВИЖЕНИЯ ПОРОД В ОКРЕСТНОСТИ ОЧИСТНОЙ ВЫРАБОТКИ

Формирование зоны разрушения в окрестности очистной выработки происходит с течением времени и предопределяет характер процесса сдвижения земной поверхности.

С целью изучения характера деформирования пород в окрестности очистной выработки произведено аналитическое исследование сдвигений пород. Рассмотрена очистная выработка эллиптической формы, проведенная в однородном изотропном массиве (рис. 2). Функция, конформно отображающая внешность эллипса на внешность единичного круга, имеет следующий вид:

$$z = \omega(\zeta) = R\left(\zeta + \frac{m}{\zeta}\right),$$



где  $z = x + iy$  - координата в плоскости выработки;  $\zeta = re^{i\theta}$  - координата в плоскости единичного круга;

$$m = \frac{a-b}{a+b}, \quad a \neq b$$

полусоси эллипса.

Функции напряжений Г.В. Колосова - Н.И. Мусхелишвили имеют вид

$$\psi(\zeta) = -\frac{x+iy}{2\pi(1+\alpha)} \rho_n \zeta + R\Gamma \zeta + \psi_0(\zeta)$$

$$\psi(\zeta) = \frac{x(x-iy)}{2\pi(1+\alpha)} \rho_n \zeta + R\Gamma' \zeta + \psi_0(\zeta) \quad (15)$$

где  $x, y$  - проекции на оси  $x$  и  $y$  главного вектора сил, приложенных к контуру выработки. В случае отсутствия крея  $x=0$  и  $y=0$   $\alpha=3/4$ , где  $\alpha$  - коэффициент Пуассона.  $\Gamma, \Gamma'$  - постоянные, зависящие от напряжений на бесконечности.

$$\Gamma = \frac{1}{4}(\sigma_x + \sigma_y), \quad \Gamma' = -\frac{1}{2}(\sigma_x - \sigma_y) e^{-2i\alpha}, \quad (16)$$

где  $\alpha$  - угол между осью  $x$  и направлением  $\sigma_x$ .

Функции  $\psi(\zeta)$  и  $\psi_0(\zeta)$  для наших условий имеют вид

$$\psi(\zeta) = \frac{\gamma_{HR}}{4} [(1+\lambda)(\frac{1}{\zeta} + m\zeta) - 2\zeta(1-\lambda)], \quad (17)$$

$$\psi_0(\zeta) = \frac{\gamma_{HR}}{2} [(1-\lambda)(\frac{1}{\zeta} + \frac{\zeta^3 + m\zeta}{m\zeta - 1}) + \frac{m^2 + 1}{m\zeta - 1} \zeta(\lambda + 1)]$$

По найденным значениям  $\psi(\zeta)$  и  $\psi_0(\zeta)$  определены по известным формулам теории упругости компоненты напряжений и перемещений элементарных объемов в окрестности выработки.

Расчеты выполнены на ЭВЦМ "Минск - 22"; получены выражения для упругих вертикальных и горизонтальных перемещений в виде:

$$\frac{v}{\delta} = \frac{[1+0,02(1-\lambda)]\frac{\alpha}{E} \gamma H (1-\nu^2)}{E}, \quad (18)$$

$$\frac{u}{\delta} = \frac{13,5(\lambda-0,926)\gamma H (1-\nu^2)}{E}$$

В выражении (18) для учета фактора времени произведена замена упругих констант  $E$  и  $\nu$  временными операторами, после чего выражение (18) имеет вид:

$$\begin{aligned} \frac{v}{\delta} &= \frac{[1+0,02(1-\lambda)]\frac{\alpha}{E} \gamma H (1-\bar{\nu}^2)}{E} = \\ &= [1+0,02(1-\lambda)] \frac{\alpha}{E} \gamma H \left\{ \frac{5-4\nu}{4E} - \frac{(1-2\nu)^2}{4E} \exp[-\omega_0 t^{1-\alpha}] + \frac{3\delta t^{1-\alpha}}{4E(1-\alpha)} \right\}, \\ \frac{u}{\delta} &= \frac{13,5(\lambda-0,926)\gamma H (1-\bar{\nu}^2)}{E} = \\ &= 13,5(\lambda-0,926)\gamma H \left\{ \frac{5-4\nu}{4E} - \frac{(1-2\nu)^2}{4E} \exp[-\omega_0 t^{1-\alpha}] + \frac{3\delta t^{1-\alpha}}{4E(1-\alpha)} \right\}. \end{aligned} \quad (19)$$

Анализ решения показал, что наибольшие смещения наблюдаются на контуре выработки, с удалением в глубь массива происходит их затухание. При дальнейшем удалении от контура вновь происходит рост смещений.

По характеру смещений определена граница в окрестности выработки с нулевыми деформациями, зона растяжения. Величина этой зоны ( $\ell$ ) увеличивается со временем и зависит от размера выработки и коэффициента Пуассона.

$$\ell = 2,33\alpha [0,466 - \frac{1-2\nu}{2} \exp(-2,1\delta t^{0.3})] \quad (20)$$

Результаты проведенных исследований позволяют оценить влияние реологических свойств горных пород на смещения и деформации массива под влиянием очистных работ, установить величину зоны растяжения, а следовательно, и границы распространения разрушения пород.

Полученные выражения для смещения контура выработки во времени использованы при разработке допустимых условий выемки предохранительного целика под заводом им. Пархоменко. Произведен расчет параметров системы разработки с учетом коэффициента усадки закладочного материала. Реализация рекомендаций в этом случае позволит дополнительно извлечь 650 тыс. тонн угля и избежать потери государственных средств на сумму около 1,5 млн. рублей.

### ЗАКЛЮЧЕНИЕ

Исследование релаксационных процессов в окрестности горных выработок и в подработанной толще пород, выполненное на примере горнотехнических условий шахт Карагандинского каменноугольного бассейна, приводит к следующим выводам:

1. Шахтные инструментальные наблюдения вне зоны влияния очистных работ показывают, что деформации массива вокруг горизонтальной выработки обусловлены проявлением его свойств ползучести. Эти деформации могут быть рассчитаны на основе теории ползучести горных пород Ж. С. Ержанова. Замерные смещения точек контура выработки превышают смещения за счет ползучести - вследствие формирования зоны разрушения, величина распространения которой в глубь массива, как правило, имеет порядок радиуса выработки 2-3м. Для расчета полных смещений контура выработки вводится соответствующий коэффициент разрушения, величина которого устанавливается экспериментально.

2. Анализ результатов инструментальных наблюдений за сдвижением земной поверхности над очистной выработкой, также основанный по упомянутой теории ползучести

горных пород показал, что смещения точек на краю мульды сдвижения происходят вследствие ползучести массива. Величины оседания этих точек позволяют определить натурные значения параметров ползучести. В зоне опасных сдвигов мульды замерные смещения возрастают также за счет разрушения толщи пород. Для расчета оседания точек земной поверхности в этом случае выходит коэффициент разрушения, определяемый геометрическими параметрами элементов системы разработки.

3. Лабораторные испытания свойств ползучести при поперечном изгибе образцов наиболее представительных пород толщи показали, что безразмерный параметр ползучести (при ядре наследственности типа Абеля) практически остается постоянным — не зависящим от вида горной породы. Величины другого параметра ползучести ближе его натурным значениям, рассчитанным по данным наблюдений за смещением точек в выработках и на земной поверхности.
4. Полученные натурные значения параметров ползучести использованы при определении смещений пород над очистной выработкой. С этой целью решена плоская задача теории ползучести для очистной выработки. Установлена зона растяжения пород, в пределах которой возможно их разрушение. Величина этой зоны в кровле пласта определяется размерами очистного забоя и параметрами упругости и ползучести.
5. Получено аналитическое выражение "эффективной" мощности пласта, позволяющее рассчитать оседание точек земной поверхности при ведении работ с закладкой выработанного пространства. Полученное выражение связывает геометрические парамет-

ры системы разработки (глубину, длину лавы, вынимаемую мощность) с физическими параметрами пород толщи и временем технологического процесса.

6. Приводится пример расчета деформаций и разрушения пород для условий Промышленного участка Карагандинского бассейна, показывающий различные стороны методики практического использования результатов проведенного исследования релаксационных процессов в толще горных пород, подверженной влиянию подземных выработок.

Материалы диссертационной работы докладывались на Всеобщем координационном совещании по проблеме проектирования, строительства и защиты зданий и сооружений на подрабатываемых территориях (Донецк, 1971), на технических Советах комбината Карагандауголь и Ученом Совете ВНИИМи.

Основное содержание диссертации опубликовано в работах автора:

1. Ползучесть осадочных горных пород (теория и эксперимент). Алма-Ата, "Наука", 1970 (совместно с Ж.С. Ержановым, А.С. Сагиновым, Ю.А. Векслером и Г.Н. Гуменюком).

2. Об оценке ползучести и разрушения подработанной толщи горных пород. Вестник АН Каз. ССР, № 12, Алма-Ата, 1970, (совместно с Ж.С. Ержановым, Ю.А. Векслером)

3. Исследование зависимости параметров сдвижения от структурных особенностей и физико-механических свойств горных пород для составления "Единых правил охраны сооружений и уточнение методов расчета сдвижений и деформаций". Информационная карта 5/120 ЦНИЭИ угля, М. 1970.

СКМП АСС Облагату правления Тир.200 Зак.№ 1168 УЛ.№08915